

## 特集◆ペロブスカイトとその応用

## ●特集

# レーザ干渉式低温用線膨張率測定装置の開発とビスマス系高温超電導セラミックスへの低温下での適用

岡路 正博 計量研究所 热物性部  
Masahiro OKAJI

問合せ/ オカジ マサヒロ 〒305 つくば市梅園 1-1-4 Tel 0298-54-4166, Fax 0298-54-4039

## 1 はじめに

超電導材料は、ゼロ電気抵抗という非常に大きな特長を持っている。その性質を利用して、金属系の低温超電導材料においては高安定で、かつ非常に強い磁場を発生できる超電導マグネットなどに応用されている。この技術は医療分野における MRI (Magnetic Resonance Imaging) といった形で、すでに我々の日常生活に深く浸透しているほか、近未来の高速交通機関として期待される超電導磁気浮上列車についても開発が進められていることはよく知られている。近年発見された液体窒素温度でも超電導状態を実現できる高温超電導セラミックスに対しても産業分野への適用に強い期待が集まっている。当所が所属する通産省においても産業科学技術開発あるいは省エネルギー技術開発等のスキームにおいて、高温超電導材料・素子の研究、超電導発電機用線材料の開発といった基礎・応用の両面にわたっての研究開発が推進されている。

ところで、金属系超電導材料の機械的特性においては、ニオブチタン (NbTi) に代表されるように非常に大きな弾性が特徴的であるが、この特性があったからこそ実用化が可能になったと言ってきた。一方、高温超電導セラミックスではその点に関しては比較すべくも無く、当初はほとんど実用にはならないと言う議論もあったが、

現実として冷凍機直結型超電導マグネットにおける超電導電流リードへの適用といった形での実用化が始まっている<sup>1)</sup>。今後、さらに実用化を推進するためには、超電導セラミックスの諸特性の多面的な評価が一層要求されよう。

計量研究所では、固体材料の比熱容量、熱拡散率、熱伝導率、線膨張率、弾性率、クリープといった熱的・機械的特性について、極低温（液体 He 温度）から高温（2000°C）にいたる精密計測技術の開発を進めている。本稿では、省エネルギー技術開発プロジェクトの一環として進められている超電導セラミックスの低温領域での線膨張率の評価に関する研究の一端を紹介する。

## 2 超電導臨界電流密度 $J_c$ と熱応力

超電導材料の実用化を進める上で考慮すべき最も重要な特性の一つに超電導臨界電流密度 ( $J_c$ ) がある。これは、超電導材料がゼロ抵抗を保ったままどれだけ大きな電流を流すことができるかという指標を与える量である。 $J_c$  はいくつかの外部パラメータの関数であり、臨界温度 ( $T_c$ ) や臨界磁場 ( $H_c$ ) は代表的なパラメータであるが、他の実用上重要なパラメータとして超電導材料への負荷応力による歪みを考える必要がある。前述のように、従来から用いられてきている NbTi や  $Ni_3Sn$  のような

代表的な金属系超電導材料では、素材その物が展性に富むため線引きにより非常に細いフィラメント状の線材に加工することが可能である。これらの材料では応力負荷に伴う歪みによる  $J_c$  の低下率は小さく、相当大きな歪みに対しても超電導状態が維持できる。しかし、高温超電導セラミックスの場合には、歪みによる  $J_c$  の低下率ははるかに大きい。図1は、金属系超電導材料と超電導セラミックスの  $J_c$  の歪み依存性の測定結果<sup>2),3)</sup>を基にデータを模式化したものである。金属系は NbTi 多芯線

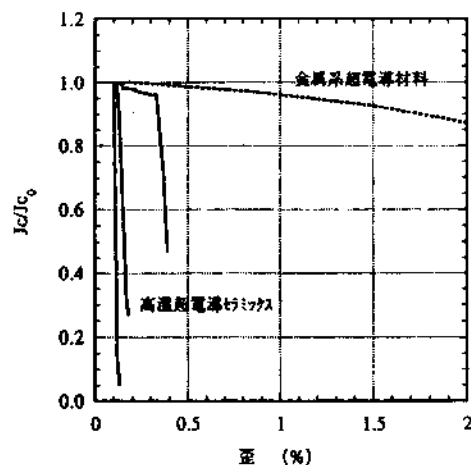


図1 超電導電流密度  $J_c$  と歪みの関係。  
縦軸は、歪みがゼロの場合の  $J_c^0$  で規格化している

材の 4.2K, 7T (テスラ) の磁場下における  $J_c$  の変化であり、セラミックス系は、銀シースビスマス 2223 系多芯線材 (powder-in-tube 法) の 77K, 0T における変化である。金属系では 2% の歪みに対しても  $J_c$  の低下は十数%程度であり、しかもこの変化は応力をゼロに戻すとほぼ元の値に回復する。しかしながら、ビスマス系では、わずかに 0.1-0.3%程度の歪みで  $J_c$  が低下し、しかも急速にゼロに近づく。

このように、超電導セラミックスの  $J_c$  について正確な評価を行うためには、できれば無応力、あるいは高度に制御された応力の下で試料を保持する必要がある。 $J_c$  の測定では実際問題として被測定材料を安定に保持するための試料ホルダを使用する必要があるが、室温で試料を固定し冷却してから特性の評価を行うというプロセスが繰り返されると、超電導材料 (試料) と試料ホルダの線膨張率 (室温からの冷却を考える場合には熱収縮率) の差に起因する熱応力をなるべく小さくす

る必要がある。

ところで、異なる線膨張率を持つ 2 つの材料が接着されているとき、それらの間に発生する熱応力  $\sigma$  は、 $\sigma = \Delta\alpha \times E \times \Delta T$  (ここで、 $\Delta\alpha$ : 線膨張率の差、E: ヤング率、 $\Delta T$ : 温度変化の大きさ) という式で表されるが、その大きさは想像以上に大きい。例えば、銅が室温から極低温まで冷却される場合、なんらかの制約でその長さ変化が完全に拘束されたとすると、発生する熱応力は約 4 トン/cm<sup>2</sup> に達することが計算で確かめられる。これは、銅の降伏応力と同じレベルとなる。他の一般的な材料についても大体同程度の熱応力が発生することがわかる。このように、重大な影響を与える熱応力に対して正確な評価を行うために、高温超電導セラミックス及びホルダ用候補材料の室温から極低温までの線膨張率の測定を、当研究所が開発したレーザ干渉式線膨張率測定装置により行った。

### 3 線膨張率の測定装置

#### 3.1 変位測定の原理

変位の測定原理には光干渉法の一種である光ヘテロダイン干渉法を採用している。光干渉法は、絶対測定法であり変位測定の感度に対して校正の必要がない点で他のどの方法にも優っている。この「絶対」という意味は、干涉縞の間隔が光の波長  $\lambda$  (通常は He-Ne レーザの赤色光で、0.6328 μm) の 1/2 に正確に対応しており、 $\lambda$  そのものは少なくとも 7, 8 枝の精度で絶対値を求められるため、実質的に長さの標準そのものを目盛りとして計ることになるということである。干涉縞間隔は、0.3164 μm であり、それよりも高感度な変位測定のためには干涉縞の間を補間する必要があるが、この補間の過程での誤差に注意する必要がある。例えば、フィゾー法のような干渉光の強度変化を検出する方法 (DC 法) では、干渉光の DC レベルや可視度 (visibility) の変動の測長誤差への影響が無視できない。これらの影響を受けない方法が、2 周波レーザ光源を利用した光ヘテロダイン干渉法 (以下、AC 法) である。AC 法では、干渉計を構成する 2 本の腕に異なる周波数の光を導入することにより、干渉光が光検出器上に発生する電流  $I$  は以下のよう式で

表される。

$$I = \text{const.} + A \cdot \cos(\Delta\omega t - (\phi_1 - \phi_2)) \quad (1)$$

ここで、Aは定数、 $\Delta\omega = \omega_1 - \omega_2$ は2周波の差（この実験では100kHz程度の差周波を使用）、 $\phi_1, \phi_2$ は干渉計の2本の腕の長さに対応する位相である。（1）式によれば、DC法の場合とは異なり、干渉縞の位相は時間軸に変換されており、ロックイン検出器や周波数カウンタ等の計測器を使用することにより非常に高感度での位相測定を行うことができる。実際、変位に換算した場合、DC法では理想的な条件下でも10nm ( $1\text{nm} = 10^{-9}\text{m}$ )程度が限界であるのに対し、AC法では系統的誤差要因を別にすればサブnmの感度が容易に得られる。

### 3.2 装置の構成

AC法を適用したレーザ干渉計とHe連続流型クライオスタットの組み合わせによる、低温用レーザ干渉式線膨張率測定装置の構成を図2に示した<sup>4)</sup>。

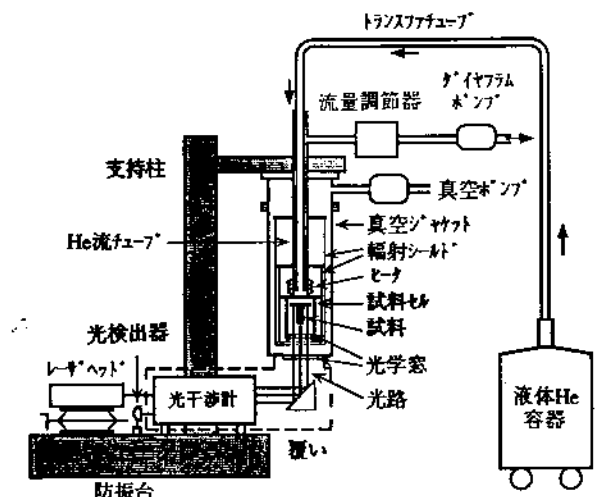


図2 低温用線膨張率測定装置の構成

この装置では、クライオスタットとしてヘリウム連続流型クライオスタットを用いている。線膨張率測定のように温度変化を前提とするような測定のための装置では、このタイプのクライオスタットが最も適している。通常低温用として最も一般的に用いられるヘリウム液溜式のクライオスタットでは、一旦最低温度まで冷却した試料を液体ヘリウムを蒸発させながら徐々に昇温していくしか方法がない。一方、連続流型クライオスタットでは液

体Heの流量制御とヒータの加熱量の制御を組み合わせて温度設定を行っているため、迅速でかつ任意パターンの温度変化をパソコン等を用いた自動制御で、かつわざかのHe消費量（試料の温度を20Kに保持するのに必要な液体Heは、0.25L/h程度）で実現することができる。

光干渉計の構成は、図3に示したように、2重光路型となっている。これは、当所が開発した干渉計であり、

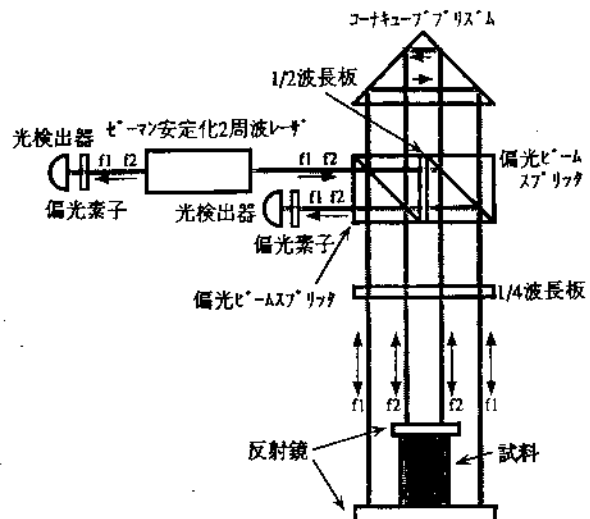


図3 2重光路干渉計の構成

感度が通常の2倍となるほか、試料系の変形による光学系の歪みに帰因する誤差の低減や光学調整の容易さ等の特長を持っている。この干渉計では、光源であるゼーマン安定化2周波レーザからの、互いに偏光が直交し100kHz程度異なる2つの周波数の光を、偏光ビームスプリッタにより分離し干渉計の2本の腕に導入するデザインとなっている。試料の両端に密着させた2枚の反射鏡の試料の長さ変化に伴う間隔変化に対応する位相変化を（1）式に従って高感度検出する。

試料の温度測定には、ロジウム鉄抵抗温度計（RhFeRT）を用いる。この温度計は、微量の鉄をロジウムに添加することで液体He温度領域まで使用できる抵抗温度計である。使用したRhFeRTは、5-300Kの範囲で1mKより良い精度を持つ。図4に試料セルの構造を示したが、RhFeRTそのものは試料と同程度の寸法を持つため、試料を支える構造（平行ねじ構造となっており、2枚の反射鏡の平行度の保持と試料の保持を兼ねている）に埋め込み、RhFeRTと試料

## ◎特集

の温度差は差動熱電対（金鉄クロメルを使用）で測定する。試料セル内の温度均一性を図るためにセル内には室温

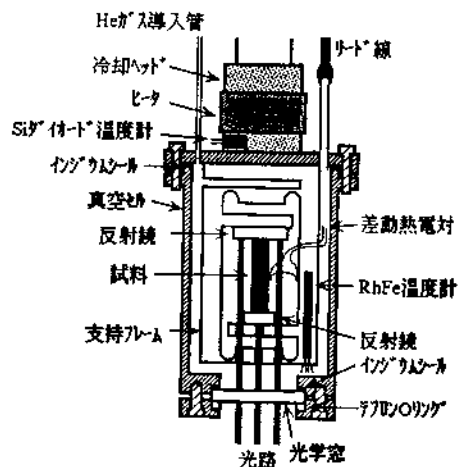


図4 試料セルの構造

で約100Pa程度のHeガスを封入する。試料セルを取り付けられている冷却ヘッドには温度制御用のシリコンダイオード温度計を張り付ける。試料セルは、液体He容器からトランスファチューブを介して注入されるHeの流量（後段にある流量コントローラとダイアフラムポンプにより調節）とヘッドを取り巻いているヒータにより温度制御される。この方式で、10-300Kの間の任意の温度で数mK/h程度の安定性が得られる。

### 3.3 測定の誤差要因

測定の誤差については、以下に示すものが主たる要因である。変位測定の誤差要因としては、試料の室温における絶対長の測定誤差、使用するレーザ光源の波長安定性、干渉光の位相測定の分解能、光学素子の不完全性等に伴う2周波の混合による誤差、干渉計の長時間ドリフト、があげられる。温度測定の誤差要因としては、RhFe温度計の校正誤差、測温分解能及び差動熱電対の測温分解能があげられる。それらの誤差要因の大きさと、線膨張率への寄与については表1にまとめて示した。試料の長さ20mm、温度差10K、平均線膨張率 $\alpha = 10 \times 10^{-6} K^{-1}$ とした場合の総合誤差（各誤差要因の大きさの2乗和の平方根）は、線膨張率に換算して $0.03 \times 10^{-6} K^{-1}$ 程度と計算される。

表1 測定装置の誤差要因と大きさ

誤差要因	大きさ	線膨張率への寄与 ( $K^{-1}$ )
変位測定		
室温での試料長、 $L_0$	$5\mu m$	$3 \times 10^{-4} \times \alpha$
レーザの波長安定性	$2 \times 10^{-8}$	$2 \times 10^{-9}$
変位測定の分解能	1nm	$5 \times 10^{-9}$
2周波間混合の誤差	2nm	$1 \times 10^{-8}$
干渉計の長時間ドリフト	2nm	$1 \times 10^{-8}$
温度測定		
RhFeRTの校正誤差	1mK	$1 \times 10^{-4} \times \alpha$
測温分解能	10mK	$1 \times 10^{-3} \times \alpha$
差動熱電対の測温分解能	20mK	$2 \times 10^{-3} \times \alpha$
総合誤差（2乗和の平方根）		$0.03 \times 10^{-6}$

### 4 線膨張率の測定結果

測定のために選択した材料は、ビスマス2212系高温超電導体( $Bi_2Sr_2CaCu_2O_{8+\delta}$ 、以下、ビスマス2212)、と試料ホルダ用の候補材料として選定された3種類のファインセラミックス(安定化ジルコニア(PSZ)、マグネシア(MgO)、コーディエライト)、及び金属材料の代表としての銅である。ここで使用したスマス2212試料は、Floating Zone法で作製された配向性に優れた多結晶試料である[5, 6]。各試料の寸法は、断面が約5-6mm角、長さが20mmである。

図5に、これらの材料の線膨張率を温度の関数として示した<sup>7)</sup>。これらの特性量の大きさは、負の値を示す最小のコーディエライトから最大の銅まで多岐にわたっている。ビスマス2212で注目すべき点は、結晶の方位方向により線膨張率の大きさが2倍も違うという大きな異方性を持つことである。これは、結晶の2次元性から当然予想されることであり、c軸方向では面間の弱いファンデルワールス的な結合が大きな線膨張率を導き、面内のリジッドなCu-Oのネットワークは小さな線膨張率を導く。ビスマス2212のab面方向とPSZの線膨張率は図ではほとんど重なるほど近い値を示している。図6には、図5の線膨張率を温度で積分して、室温(293K)で一致するように調整した結果を示した。これは、室

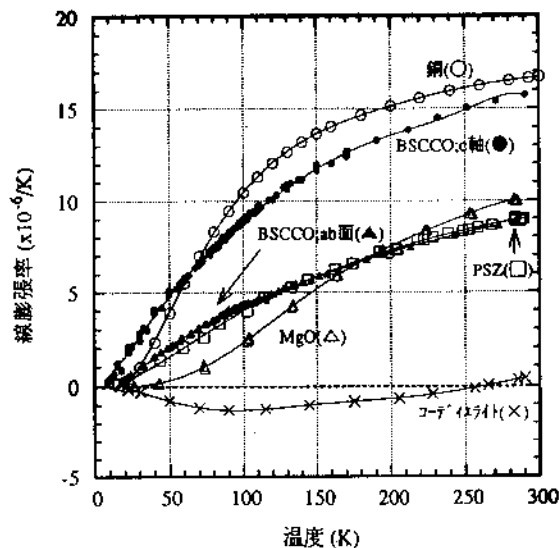


図5 Bi2212系超電導セラミックスとホルダー用候補材料の線膨張率

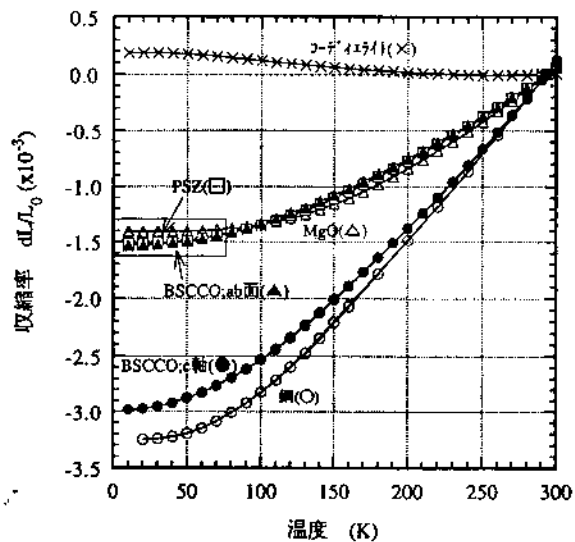


図6 Bi2212系超電導セラミックスとホルダー用候補材料の室温を基準とした収縮率

温からの収縮率を見積もるのに都合の良いプロットである。これによるとビスマス 2212 の ab 面方向と PSZ 及び MgO の収縮率はほとんど等しいことがわかる、図 7 に低温での拡大図を示したが、室温から 10K まで PSZ の場合  $2 \times 10^{-5}$  (20ppm) しか収縮率の差がないことが分かる。図 1 で示したように、 $J_c$  の低下が出現する歪みレベルは 0.1-0.3% (1000-3000ppm) だから、PSZ を試料ホルダとして用いればビスマス 2212 の ab 面に関してはほとんど応力フリーでの保持が可能となる。

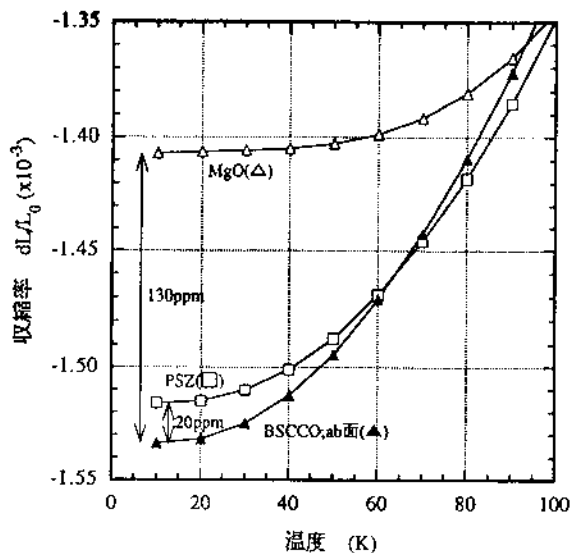


図7 収縮率の低温領域の拡大図

MgO についてはそれほど理想的ではないがやはり近い値 (130ppm) を持つ。一方、c 軸 (ab 面と垂直) 方向については良い一致とまでは言えないが、銅が比較的近い値 (300ppm) を持つことが分かる。他方、歪みの影響を調べるために意図的に引っ張りあるいは圧縮力を負荷させようとする場合には、コーディエライトや銅などを積極的に用いるという手段も考えられる。なお、表 2 には、ビスマス高温超電導体と他の材料の熱収縮率の差から予測される歪みの大きさの計算値をまとめて示した。

表2 溫度を 293K から 10K まで変化させた時の、ビスマス 2212 系超電導セラミックと他の材料の間に発生する歪みの値、 $\epsilon_T = (\Delta L_{\text{BSCCO}} - \Delta L_{\text{他の材料}})/L_0 \cdot L_0$  は室温での長さ。+と-の符号は、ビスマス 2212 が受ける歪みの方向 (-: 圧縮, +: 引っ張り) を示す。

	$\epsilon_T$ (ppm)			
	Cu	MgO	PSZ	Cordierite
BSCCO(a-b面)	+1700	-130	-20	-1700
BSCCO(c軸)	+300	-1600	-1500	-3200

## ◎特集

### 5 まとめ

歪みに対して注意深い扱いが必要である高温超電導セラミックスの臨界電流密度  $J_c$  等を評価する上で重要な特性である線膨張率を正確に測定する装置を開発し、ビスマス 2212 高温超電導体と数種類のホルダー用候補材料の線膨張率の測定を行った。その結果、線膨張率がビスマス系材料とほぼ一致するセラミックス (PSZ) を見いだすとともに、他の材料についても有用なデータが得られた。

高温超電導セラミックスの実用化に向けて、材料評価方法の標準化をはじめとして現在様々な検討が進められているが、ここで紹介した線膨張率に関する測定結果が基礎的なデータとして活用されれば幸いである。

### [参考文献]

- 1) 特集・酸化物超電導電流リード、低温工学, 30-12 (1995) 552.
- 2) C. C. Koch and D. S. Heuston, *Cryogenics*, 17-7 (1977) 391.
- 3) K. Osamura, S. Ochiai and K. Hayashi, *Adv. Cryog. Eng.*, 38 (1992) 875.
- 4) M. Okaji, N. Yamada, K. Nara and H. Kato; *Cryogenics*, 35-12 (1995) 887.
- 5) Y. Kubo et al.: JJAP, 28-11 (1989) L1936.
- 6) K. Michishita et al., Proc. 4th Int. Sympo. Superconductivity, (Eds H. Hayakawa and N. Koshizuka), (Springer Verlag, Tokyo, 1992) 497.
- 7) M. Okaji, N. Yamada, K. Nara, H. Kato, K. Michishita and Y. Kubo, *Cryogenics*, 34-2 (1994) 163.

### 第10回 セラミックス新技術体験スクール 放電プラズマ焼結

僅か5分間ですむセラミックスの焼結

セラミックスの製作、評価の基礎から最新技術までを第一線の研究者から解説を受け、その後実習を行なうことによりその技術を修得することができると、皆様からご好評いただいている新技術体験スクールを開催いたします。

今回は、大阪府立産業技術総合研究所に新しく導入された放電プラズマ焼結機を用いた実習をおこないます。この装置は、加圧下で 2,000A 以上のパルス状の大電流を試料に加え、粒子表面の活性化を促し、さらに原子拡散の加速させる効果があるため、通常の焼結に比べると短時間、低温の焼結が可能となります。

また、表面活性化の効果によって、W, Mo, Ti などの難焼結金属粉末の焼結や、異種材料の接合、さらには、短時間で焼結が完了することから、傾斜機能材料の焼結等に適しています。

本スクールでは、本装置の開発に携わった住友石炭鉱業(株)の鶴田正雄氏を講師にお迎えして、放電プラズマ焼結の原理および実例等をお話しいただき、さらに、金属・セラミックス粉末の焼結や接合を実際に行なうことによって、新しい焼結法の実体をつぶさに体験していただくものです。

主催	ニューセラミックス懇親会
協賛	(社)日本材料学会、(社)粉体粉末冶金協会、他
日時	平成 8 年 11 月 22 日 (金) 10:00 ~ 12:00 座学 (講師: 鶴田正雄) 13:00 ~ 16:00 実習 (粉末の焼結、接合)
場所	大阪府立産業技術総合研究所 〒590-02 和泉市あゆみ野 2 丁目 7 番 1 号 TEL 0725-51-2655 埼辻
定員	15 名 (先着順)
参加費	会員 15,000 円 協賛団体会員 18,000 円 非会員 22,000 円
申込先	株式会社ティー・アイ・シー TEL 06-444-6017, FAX 06-444-6021